

筑波大学 正員 ○ 大野友則
 筑波大学 正員 西岡 隆
 東京大学 正員 藤野陽三

1 まえがき

地震時の構造物の耐震安全性を、地震動によって構造物に入力される塑性ひずみエネルギー量と構造物固有の吸収可能なエネルギー量との大小関係で評価する試みは、エネルギー論に立脚した耐震設計法確立のための一つの有力な方法と考える。ところで、構造物の設計段階で、その構造物の耐震安全性を前述の評価法で検討する際、設計用地震動による塑性ひずみエネルギー量および構造物固有の吸収エネルギー量の具体的な定量化が行なわなければならない。この種に関する研究は古くから行なわれてきただが、とくに上記の観点に立って行なったものに加藤、秋山の研究がある。³⁾さて、実際の土木および建築構造物は非常に複雑な復元力特性を呈し、また入力地震動の特性もまちまちである。本研究は、入力地震動および構造物の有する諸特性に着目して、タイプの異なる地震動と構造特性を表わす種々のパラメーターが、地震動により構造物に入力されるエネルギー量に及ぼす影響を調べ、さらに、地震時に構造物が受ける塑性ひずみエネルギー量を定量的に把握することを試みた。

2 入力地震動と構造物の特性

2.1 入力地震動 本研究では、地震動特性を加速度と周波数の2つに着目して、この特性が代表的と考えられる次の5種の地震記録を用いた(図-1)。(i) Pacoima Dam記録(San Fernando地震), 1971, S16E.
 (ii) El Centro記録, 1940, NS. (iii) Taft記録, 1952, S69E. (iv) ハ戸記録(十勝沖地震), 1968, NS. (v) 高知記録(日向灘地震), 1968, EW.

2.2 構造物のモデル化とその特性 本研究では、解析の対象を中低層構造物(固有周期 $T_0 = 0.4 \sim 0.8$ 秒)が水平地震動を受ける場合とし、構造物のモデルを1自由度質点系に置き換えた。また、このモデルの復元力特性は、その代表的モデルである Bi-linear型とした。この1質点系モデルが、地震動入力加速度 $\ddot{u}(t)$ を受けて運動する場合のエネルギー応答式および復元力 $Q(X)$ (図-2)は、それぞれ次式で与えられる。

$$\frac{1}{2}M|\dot{X}|^2 + \int_0^t CX^2 dt + \int_0^X Q(X) dX = - \int_0^t M\ddot{u}(t) \dot{X} dt \quad \cdots (1)$$

$$Q(X) = \begin{cases} KX & : \text{弾性域} \\ \eta KX + (1-\eta)KX_y & : \text{塑性域} \\ K(X-X_y) + Q_y & : \text{除荷時} \end{cases} \quad \text{但し}, C: \text{減衰係数}, X_y: \text{降伏位}, K: \text{弾性剛性}, \eta: \text{塑性剛性比} \quad \cdots (2)$$

実際の数値解析では、上の式(1),(2)の無次元化式を用いる。この際、無次元化量として、固有周期 T_0 、減衰定数 η および降伏強度係数 η ($= Q_y/M\ddot{u}_{max}$; Q_y : 降伏復元力, \ddot{u}_{max} : 最大入力加速度)を導入した。よって、構造物の弾塑性応答におけるエネルギー入力に影響を与える構造特性のパラメーターとして、 T_0, h, γ, η の4つを採用した。また、これらのとりうる値の範囲は、本研究で対象とする構造物の設定条件

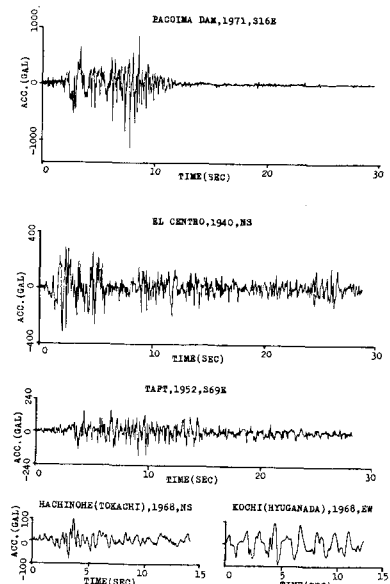


図-1 地震記録

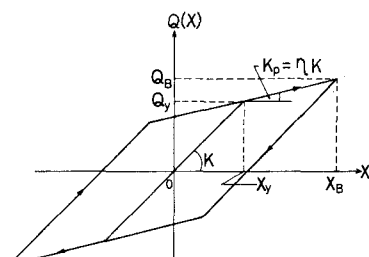


図-2 Bi-linear型復元力

と実際構造物に規定される諸条件を考慮し、 $T_0=0.4\sim0.8$ 秒、 $h=0.025\sim0.10$ 、 $\gamma=0.3\sim0.9$ 、 $\eta=0.0\sim0.9$ の範囲とした。

③ 数値解析

前述の5つの地震記録と構造モデルを用いて数値解析し、各地震動によるエネルギー入力に対する各パラメーターの影響を調べた。例に、El Centro

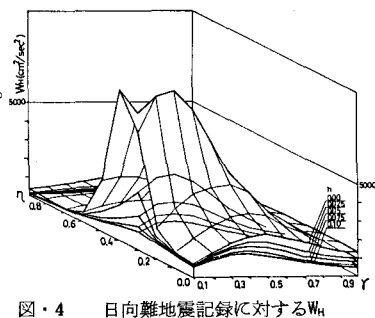
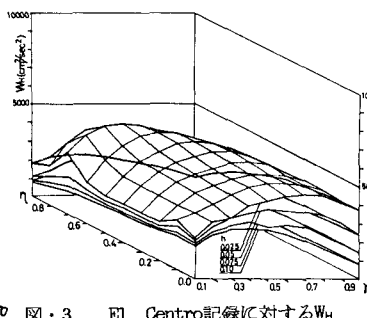


図3 El Centro記録に対する W_H
及び日向灘地震記録の塑性ひずみエネルギー量 W_H ($T_0=0.8$ 秒)を図3、4に示した。入力地震動の相違により、エネルギー量の大小や各パラメーターとの関係が非常に異なっているのがわかる。すなわち、エネルギー量をパラメーターとの関係で定量的に検討するには、個々の地震動に対して規定する必要がある。このため、次に地震動の影響を減すように、構造物に累積する塑性ひずみエネルギー量(W_H)と入力エネルギー量(E)の比 W_H/E をとって、この値と各パラメーターとの関係を検討した。 W_H/E の評価に当っては、地震動の不確定性を考慮し、5つの地震記録に対する包絡値をとって上限値とし、この値とパラメーターの関係を求めた。図5に、 $T_0=0.8$ 秒、 $h=0.025$ の場合の W_H/E ~ γ ~ η 関係を示す。この図から、 $0.3\gamma\leq0.9$ の範囲では W_H/E は γ に対してほぼ一定値とみなすことができる。図6には、減衰定数 h の相違による W_H/E ~ γ ~ T_0 関係を示した。この図から、 $0.4\leq T_0 \leq 0.8$ 秒の範囲では W_H/E は固有周期によらず一定値とみなすことができる。以上より、最終的に得られる W_H/E ~ γ ~ h 関係が図7のようになる。この関係に対して、回帰曲線を求めれば、 W_H/E は γ と h の関数として次の近似関係式が得られる。

$$W_H/E = [1.0 + \{1.16 + 5.03\eta + 1.26(1-\eta) + 0.12(1-\eta)^2\}h + \{0.18 - 1.24\eta + 2.87\eta^2 + 0.11(1-\eta)\}/h]^{-1} \quad \dots \dots \dots (3)$$

但し、 $0.0 \leq h \leq 0.1$ 、 $0.0 \leq \eta \leq 0.9$ 、 $0.3 \leq \gamma \leq 0.9$ 、 $0.4 \leq T_0 \leq 0.8$ sec である。

④ 結び

(1) 地震動による全入力エネルギー量(E)のうち、構造物に累積される塑性ひずみエネルギー量(W_H)の割合 W_H/E は、特徴の異なるいずれの地震動に対しても一様な傾向をもつ。すなわち、 W_H/E の値は地震動によらず主として構造特性のみに依存する。

(2) W_H/E に対するひととりの統括的な近似関係式は、式(3)で与えられる。この式を用いることにより、構造物の耐震安全性をエネルギーレベルで検討する際の目安として、入力地震動によって構造物が受けける塑性ひずみエネルギー量の安全側の大略値を算定することができる。

参考文献

1) Housner,G.W.:Behaviour of Structures During Earthquakes,ASCE,EM4,Oct. 1959.

2) 山原浩:エネルギーの平衡を考えた構造物の地震応答,建築学会論文報告集No.187, Sep. 1971.

3) 加藤勉,秋山宏:強震による構造物へのエネルギー入力と構造物の損傷,建築学会論文報告集第235号,昭50.9.

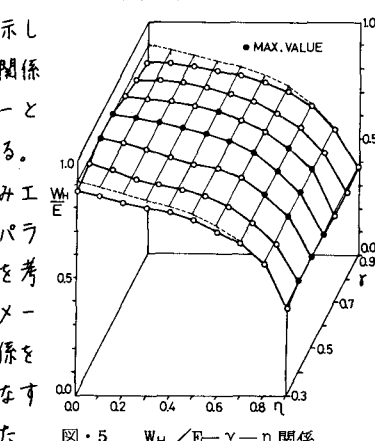


図5 W_H/E ~ γ ~ η 関係

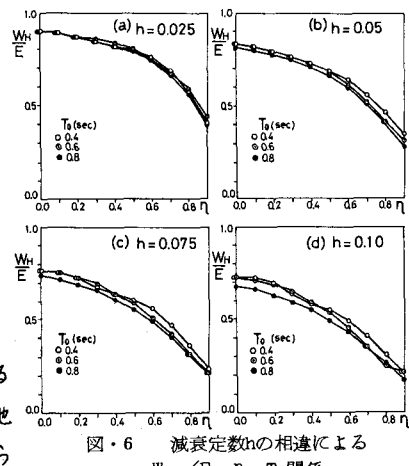


図6 減衰定数 h の相違による
 W_H/E ~ γ ~ T_0 関係

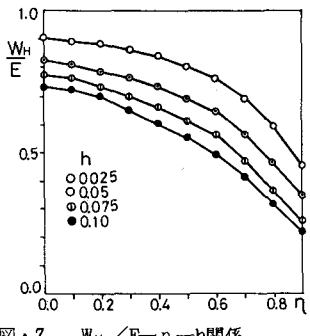


図7 W_H/E ~ γ ~ h 関係